

106624

紡織厂通風系統 的設計与管理

H. C. 索罗金著

楓 洲譯

紡織工业出版社

目 錄

1. 送風系統及其比較評定的准數 (4)
2. 通風設備的模型試驗 (9)
3. 粗紗一梳棉車間內消極送風和積極送風的比較評定 (18)
4. 在利用吊風道送風的情況下消極送風和積極送風的比較評定 (25)
5. 在樓房式紡織廠內集中(無風道)送風的效果的研究 (35)
6. 鋸齒型厂房內下部送風和集中送風的效果的比較評定 (47)
7. 細紗機下面的下部送風的試驗 (58)
8. 新的大型紡織聯合工廠中紗布場最有效的通風方法 (72)
9. 結論 (91)

566
5/4068

106624

~~~~~  
紡織厂通風系統的設計与管理

H. C. 索罗金著  
楓 洲 譯

紡織工業出版社

~~~~~

ВОПРОСЫ ПРОЕКТИРОВАНИЯ
И ЭКСПЛУАТАЦИИ СИСТЕМ
ВОЗДУХООБМЕНА НА ТЕКСТИЛЬНЫХ
ФАБРИКАХ
Н. С. СОРОКИН
ПРОФИЗДАТ·1954



紡織厂通風系統的設計与管理

著者 苏聯 H. C. 索羅金
譯者 枫洲岡
審校 金
北京市書刊出版業營業許可証出字第16号
出版 紡織工業出版社
印 刷 上海市印刷三厂
發行 新華書店
北京東長安街紡織工業部內

前　　言

紡織廠內多半依賴通風給濕設備來提高生產率和改善勞動條件，依靠這種通風給濕設備，可以在車間內造成既適于人体感覺又適于工藝過程的溫濕度條件。

通風給濕設備的運轉效能主要決定于生產車間內的通風系統，即送風在車間內的分布方法，並且在某種程度上決定于排風方法。

多次的研究證明，在密閉房屋內的空氣循環主要決定于送風氣流的作用。排風口的分布和形狀雖然也有些關係，然而對於循環的性質畢竟不會起本質的影響。所以本書中主要只述及送風的方法和組織。

下面所提供的材料是根據全蘇總工會伊萬諾沃勞動保護研究院在這方面所做的科學研究工作的結果而編制的。

1. 送風系統及其比較評定的準數

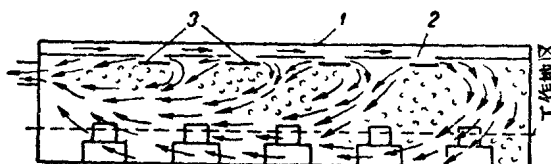
目前在紡織企業內有四种基本的送風方法：

- (一)上部(消極)送風；
- (二)下部送風；
- (三)向工作地區的積極送風；
- (四)集中(無風道)送風。

現在我們來研究利用這幾種送風方法時室內氣流的構造和循環的示意圖，

(一) 上部(消極)送風

這樣的送風往往是利用層間樓板中或鋸齒天溝下的天花板風道支風道網，以及懸吊式風道進行的。空氣通過開在風道底板或側壁上的正方形、矩形或是圓形的送風口送出。为了避免在工作地區有吹風的感覺，通常在這些送風口上裝設各種吊燈式送風口、擋板以及類似的這種裝置。



第1圖 上部消極送風時的室內空氣循環

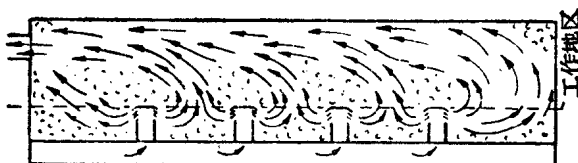
第1圖表示上部消極送風時空氣通過風道1和設有吊燈式送風口3的天花板送風口2的空氣循環。送風氣流由送風口送出後，撞擊在吊燈式送風口的板上，轉90°的彎，然後在室內的天花板下流動。

上部送風的方法在衛生方面是不能認為滿意的，因为很大部分風量在室內的上部循環，在尚未到达工作地区时，夏天通过敞开的窗户或通風窗排出，冬天則通过回風窗排出。此外，空气还会在到达工作地区之前通过複雜和漫長的途徑，被車間里散發的有碍衛生的廢氣弄髒。

(二)下部送風

在这种情形下送風是利用地下風道的支風道網進行的，空氣由靠牆壁或柱子的送風筒送出。在織布廠內送風筒常常設置在織布機的輪廓尺寸範圍內。利用裝設吊風口的上部風道也可以造成下部送風。

第2圖表示下部送風時的空氣循環。



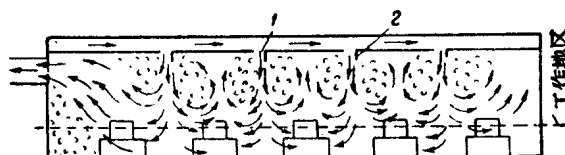
第2圖 下部送風時的空氣循環

这样的送風在衛生方面比上部送風好，因为在这里送入的新鮮空氣接近人們的呼吸区域。但是下部送風需要設置造价很高的地下風道網，以及許多占据車間面積的送風筒。从衛生方面設想，送風筒的高度最好是1.5公尺，如果通过比較低的送風筒送風時，可能在腳的周圍造成使人不舒適的氣流。

(三)積極送風

依照作者的方法，向工作地区積極送風的示意圖是：空氣通过裝有遮風板2的30~80公厘寬的條縫口1送出(第3圖)；

条縫与通風道中的氣流垂直，由此空氣主要是在靜壓作用下沿着与垂直壁接近的方向从送風口送出。

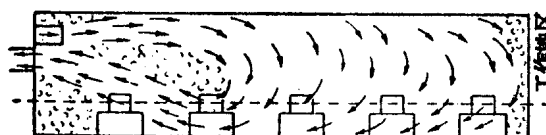


第3圖 積極送風時的室內空氣循環

在这个圖中表示了積極送風時空氣的循環情形。可見，這種通風方法可以保證將新鮮空氣沿最短的途徑送至工作地點，通常送至機器與機器之間的車弄里。在工作地區內造成較高的風速，風速的大小可以按衛生要求而確定。

(四)集中(無風道)送風

無風道送風時，大量空氣由車間內一點或數點通過特殊的圓形或長方形噴頭噴入車間。第4圖表示無風道送風和集中單面排風時的氣流循環情形。



第4圖 無風道送風時的室內空氣循環

無風道送風在結構方面極為簡單，材料的消耗最少，并且不占据車間體積。但是在效果方面，無風道送風遠不如積極送風和下部送風。無風道送風和上部送風的情形一樣，有一部分空氣在車間的上部地區循環，尚未到達工作地區，即由敞开的通風窗排出室外或通過回風窗吹入空調室。

將來我們會見到在紡織廠內主要采用積極送風和無風道送風，因為近幾年來已經獲得廣泛的采用。

各种通風方法的效果，曾根据作者提出的准数 K_9 ，作了比較評定。

为了确定这个准数，用送風量及排風和送風的含热量來表明車間內散出并被送風所吸收的总散热量 Q ，

$$Q = L(i_{yx} - i_{np}) \text{ 千卡/小时}$$

式中 i_{yx} —由車間排出的空气的含热量(千卡/公斤);

i_{np} —送風的含热量(千卡/公斤);

L —送風量(公斤/小時)。

許多次的觀察說明，無論是局部抽風或是全面排風，散發至工作地区的热量只是全部热量中的一部分，而另一部分热量則由热源地上升，繞過工作地区而排出，即

$$Q_{pab} = \alpha Q$$

式中 Q_{pa6} —散發至工作地区的热量(千卡/小时);

α ——散發至工作地区的散熱系數。

同时，常常并不是全部送风到达工作地区，而是一部分送风在尚未到达工作地区时，已由排风窗排出，即

$$L_{pab} = \eta L$$

式中 L_{pa6} —送至工作地区的風量(公斤/小时);

η —送風的利用系数，表示有多少送風量進入工作地區。

車間內熱平衡的方程式列舉如下：

$$(i_{yx} - i_{np})La = (i_{p_{u6}} - i_{np})L\eta$$

由此

如果車間內只有散熱而沒有散濕，則 K_9 的方程式採用如下：

公式(1)和(2)我們称作通風效果准数，按照它的数值可以判定通風方法的完善程度，即判定該車間內送風窗和排風窗根据热源地(或其他气体的發源地)和工作地点的要求分布得合理到什么程度。实际上， η 越小，也就是送至工作地区的風量占全部送風量越少，則通風的效果越小；反之，散發至工作地区的散热系数 a 越小，也就是气流給工作地区帶入的热量越少，则通風的效果越好。

可見, K_1 的值可能大于 1, 也可能小于 1。如果 $K_1 < 1$, 則 $i_{yx} < i_{pa6}$ 或 $t_{yx} < t_{pa6}$ 。

这就是說，有一部分送風在尚未到达工作地区前已由排風窗排出，而系数 α 則接近于 1。

如果 $K_c > 1$, 則 $i_{yx} > i_{pab}$ 或 $t_{yx} > t_{pab}$ 。在这种情形下, 由于通風組織得正确, 一部分热量越过工作地区由排風窗排出, 而送風的利用系数則接近于 1。

自然, K_9 的值越大, 說明通風組織得越完善; 反之, K_9 的值越小, 說明該車間的通風組織得比較差。

由此可見，車間內的通風必須這樣組織：空氣以最短的途徑送至工作地區，而熱空氣必須少在工作地區停留，尽可能以最短途徑向排風窗排出。

对于细纱车间和织布车间，车间内的空气温度和相对湿度的分布均匀有着重大的意义。

我們曾經按照下面平均偏中差的公式，根據車間內空氣溫湿度分布的均勻程度，作過各種通風系統的比較：

式中 t ——已知点的空气温度;

φ —已知点的空气相对湿度;

t_{cp} ——所測溫度中的平均溫度;

φ_{ep} ——所测相对湿度中的平均相对湿度;

n —測量的次数。

2. 通風設備的模型試驗

氣流和熱流循環的研究以及 K_1 和 σ 值的計算，可以直接在車間內，也可以在遵照空氣動力和熱力相似的條件下在按幾何形狀相似的模型內進行。

大家知道，根据模型試驗的理論，为了保持在重力影响下气流曲折的相似以及在模型內和实际条件下气流紊乱程度的相似，必須保持在模型內和实际条件下的阿基米德准数的值不变。

这个准数是

或

式中 g —重力加速度(公尺/平方秒)

l —特性的直線尺寸；

v ——特性点上的空气流速(公尺/秒)

ΔT ——剩余温度。在这个情况下 $\Delta T = T - T_{np}$

式中 T_{np} ——送風溫度；

T ——車間或模型內的空氣溫度。

所有表明的溫度均按照絕對溫度計算。

指數 n 說明車間實際條件，指數 μ 說明模型。

為了証實是否可以將車間內的通風現象用模型來表示，也就是是否可以使模型的條件符合於車間的條件，我們曾做過一種特殊的試驗工作。

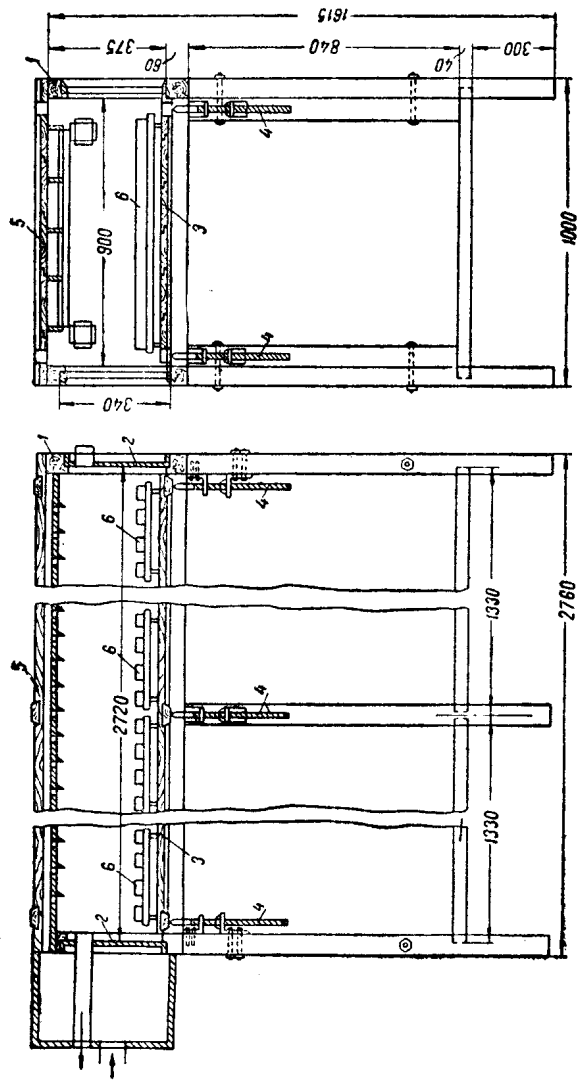
我們拿伊萬諾沃城捷爾任斯基工廠的細紗車間作為試驗的對象。車間的長度為 52.8 公尺，寬度為 36.0 公尺和高度為 5.0 公尺。因為細紗機沿車間寬度的方向對稱地排列成兩行，所以為了要取得比較小巧的模型，沿車間寬度的方向，我們只是取其排列 32 台細紗機的半個車間來作為模型。

模型（第 5 圖）為實際大小的 $\frac{1}{12}$ ，它是與上述細紗車間幾何形狀完全相似的縮形。因此模型的長度為 2.64 公尺，寬度為 0.9 公尺。模型的地板做成活動的，以便可以改變模型的高度。試驗是在模型高度為 200、250 和 300 公厘的條件下進行的，這相當於實際車間的高度 4 公尺、5 公尺和 6 公尺。

模型由兩端鑲有膠合板 2 的木構架 1 組成。縱向的側壁鑲上玻璃，以便於觀察。模型的地板 3 用木板做成，可以用千斤頂上下移動，以改變模型的高度。模型的上部蓋板 5 做成可拆卸的，這樣可以改變模型的結構以及送風風道和送風口的形狀。

模型內的空氣用 8 個功率相同的電熱器 6 加熱。電熱器由充滿砂子的平淺的鋼箱組成，鋼箱內有由鎳鉻合金絲製成的加熱器，鎳鉻合金絲的長度為 900 公厘，其單位電阻為 $1.35 \frac{\Omega}{M}$ 。全部電熱器的實用功率為 1200 瓦特，其散熱量為：

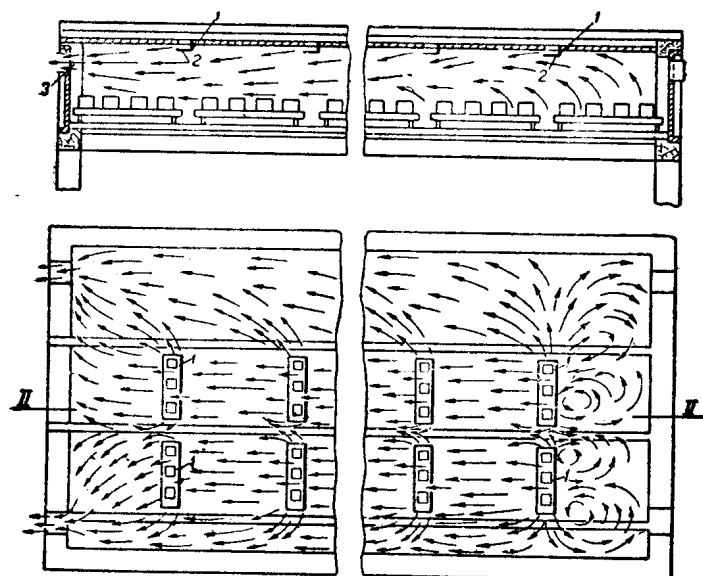
第5圖 捷爾任斯基工廠細紗車間的模型



$$Q = 1.2 \times 860 = 1032 \text{ 千卡/小时}$$

利用四氯化钛($TiCl_4$)可以对模型内的气流进行目力观察。为了便于观察，不必使整个模型冒烟，而可向个别具有代表性的地点放下金属杆，杆端套以用钛浸透的棉球，使其喷烟。用目力观察气流循环时，轻轻地将笔描绘成草图。

利用天花板吊灯式送风口上部送风时，气流循环图绘成了两种方案。第一个方案是在送风口沿气流方向的前边安装垂直挡风壁1(第6图)，以使送风气流沿着与风道内气流相反的方向送出。这样就防止了由水平板2引起的倾斜气流的分裂，并防止了工作地区内形成强烈的气流。因此送风气流由送风口

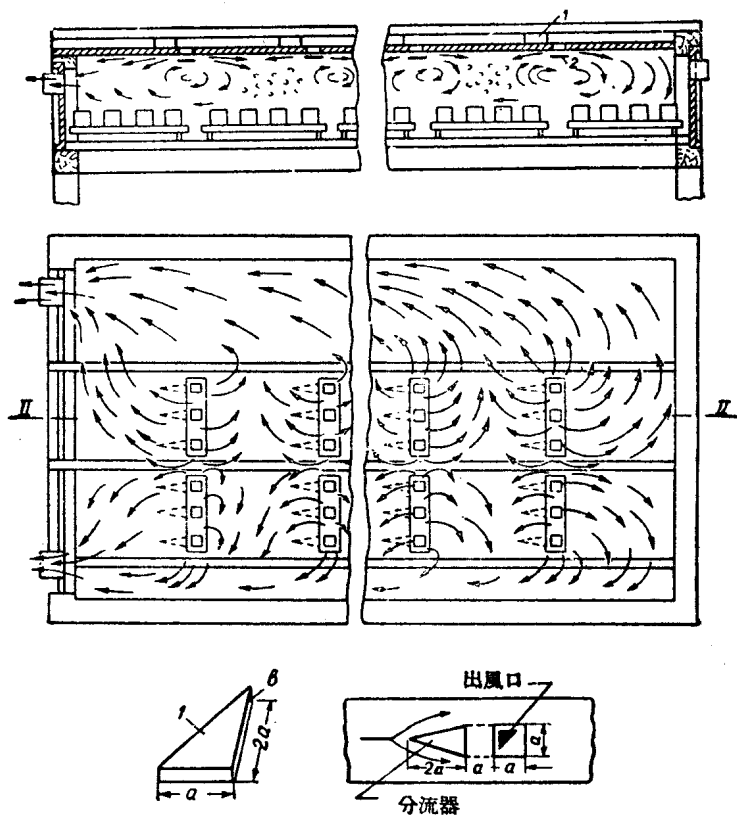


第6圖 風道內不設分流器的上部送風時模型的氣流循環

射出时，转180°的弯，然后在车间上部向回风窗的方向流动。

这时很清楚地看到气流緊貼在天花板上的現象。当然，在这种情形下很大一部分的送風在未到达工作地区时，便通过車間一端的回風窗 3 或天窗排出。

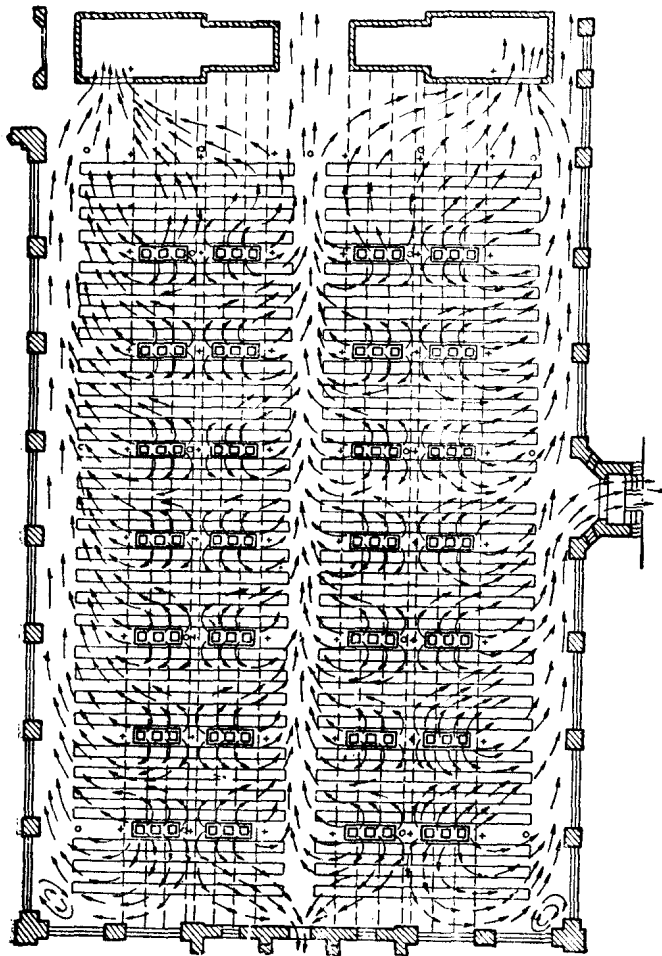
在第二个方案中拆掉擋風壁，而为了消除动压，在送風口前安装与風道同高的三棱形分流器 1 (第 7 圖)。裝有分流器时，送風气流只是在靜压作用下由送風口向下垂直射出，并打



第 7 圖 風道內設有分流器的上部送風時模型內的氣流循環

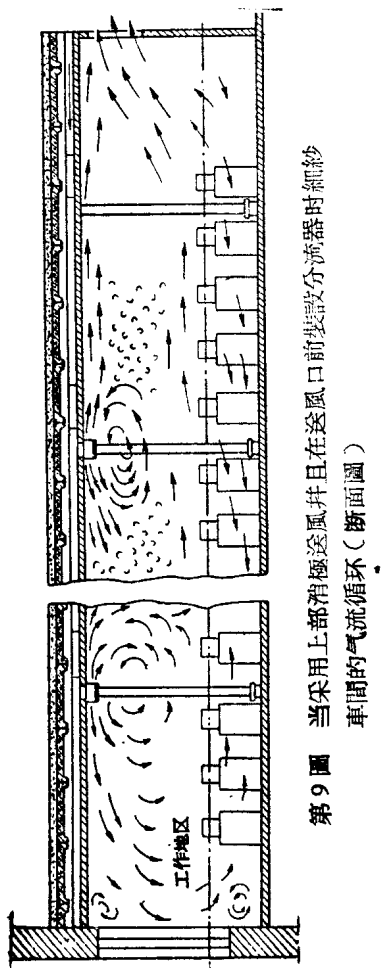
击在水平板 2 上，向各方面分流。这样可以保証室內的送風能更好地混合，并因此得以全部利用。

第 8 和第 9 圖表示在捷爾任斯基工厂細紗車間的实际条件

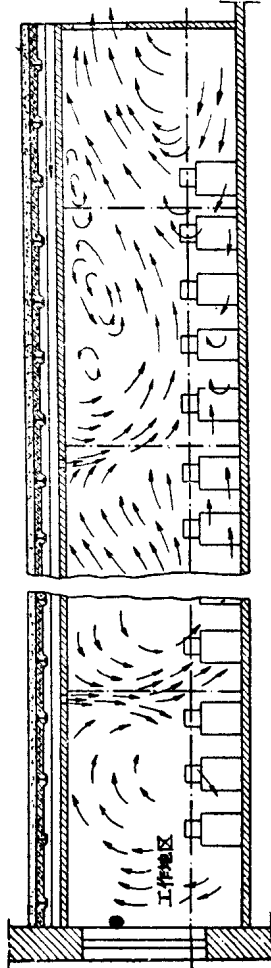


第 8 圖 當采用上部消極送風並且在送風口前裝設分流器時細紗車間內的氣流循環（平面圖）

下，当通过風道內設有分流器的吊灯式送風口進行消極送風以及通过回風窗將廢氣集中排至空調室时的气流循环情形。第8圖表示通过吊灯式送風口水平板的水平面上的气流循环情形，



第9圖 当采用上部消極送風并且在送風口前裝設分流器時細紗車間的氣流循環(斷面圖)



第10圖 捷爾任斯基工厂細紗車間內采用積極送風時的氣流循環